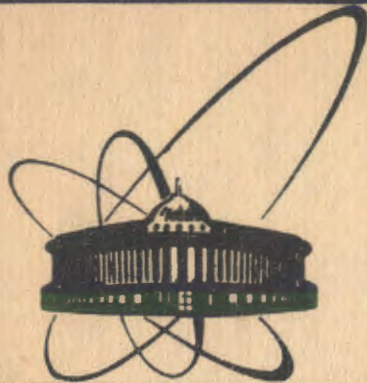


89-229



сообщения  
объединенного  
института  
ядерных  
исследований  
дубна

Г 948

P13-89-229

Н.А.Гундорин, А.Дука-Зойоми, Зо Сен Хен,  
Я.Климан, В.Полгорски

ОПРЕДЕЛЕНИЕ АБСОЛЮТНОЙ ЭФФЕКТИВНОСТИ  
 $\text{Ge}(\text{Li})$ -СПЕКТРОМЕТРА  
ДЛЯ ИЗМЕРЕНИЯ МГНОВЕННОГО  $\gamma$ -ИЗЛУЧЕНИЯ  
ИЗ ПЛУТОНИЕВОЙ КАМЕРЫ ДЕЛЕНИЯ

1989

## Введение

В практике гамма-спектроскопии очень важным вопросом является точное определение эффективности регистрации гамма-квантов.

Исследование количественных характеристик выхода гамма-квантов из осколков деления, в частности, зависит прямым образом от точности определения абсолютной эффективности гамма-спектрометра. Для определения абсолютной эффективности применяются различные методы в соответствии с типом и конструкцией гамма-спектрометра.

В последнее время в Лаборатории нейтронной физики ОИЯИ был разработан спектрометр, состоящий из камеры деления и работающего в совпадении с камерой полупроводникового Ge(Li)-детектора, для измерения интенсивностей гамма-квантов из осколков, возникающих при делении  $^{239}\text{Pu}$  резонансными нейtronами.

В настоящей работе приведены результаты определения абсолютной эффективности гамма-спектрометра и вычисления методом Монте-Карло поправок, учитывающих поглощение гамма-квантов в слоях мишени и объемный размер источника.

### 1. Определение собственной эффективности Ge(Li)-детектора

На рис. 1 приведена принципиальная схема гамма-спектрометра для измерения сопутствующего делению гамма-излучения.

В рабочем объеме камеры деления имеется 39 электродов; 19 электродов из них со слоями окиси плутония  $\text{PuO}_2$ , и остальные электроды из чистого алюминия. Слои из окиси плутония толщиной 1,0  $\text{мг}/\text{см}^2$  нанесены с двух сторон на алюминиевые подложки диаметрами 77 мм и толщиной 0,1 мм.

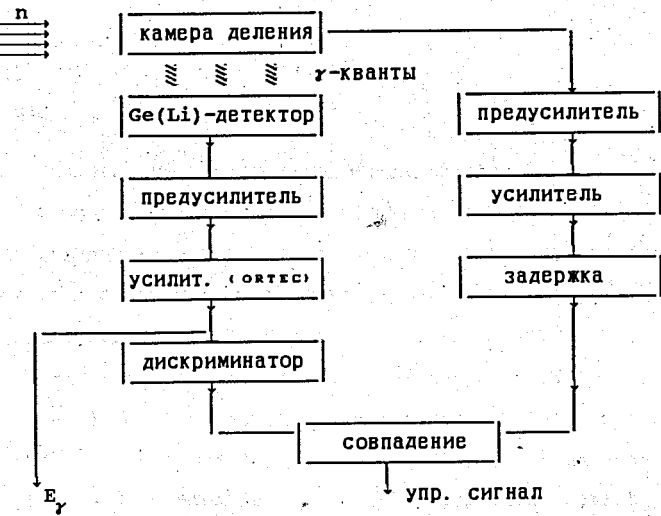


Рис. 1. Принципиальная схема  $\gamma$ -спектрометра

Слои окиси плутония покрыты слоем золота толщиной 30-50 мкг/см<sup>2</sup>.

Суммарное количество чистого плутония в камере деления составляет 1,6 г.

Для регистрации гамма-спектров из осколков деления применяется полупроводниковый Ge(Li)-детектор объемом - 60 см<sup>3</sup>.

В спектрометрический тракт входят предусилитель марки ORTEC и спектрометрический усилитель марки ORTEC-572. Собственная эффективность полупроводникового Ge(Li)-детектора определена экспериментально с использованием набора стандартных калибровочных гамма-источников СОСГИ-М с известной абсолютной активностью. В набор СОСГИ-М входят 6 гамма-источников:  $^{54}\text{Co}$ ,  $^{133}\text{Ba}$ ,  $^{152}\text{Eu}$ ,  $^{110}\text{Ag}$ ,  $^{182}\text{Ta}$ ,  $^{192}\text{Ir}$ . Они позволяют проводить калибровку эффективности гамма-спектрометра в энергетическом диапазоне от 53 до 3500 кэВ.

При измерении стандартные точечные источники помещались в месте, где находится центр оси камеры деления. Гамма-спектры от каждого стандартного источника измерялись с помощью 4096-канального амплитудного анализатора, и из них вычислялись значения собственной эффективности полупроводникового Ge(Li)-детектора в 66 фотопиках.

Энергетическая зависимость собственной эффективности детектора интерполировалась с помощью программы метода наименьших квадратов FUMILI [1] на микроЭВМ "правец-16" и представлена на рис. 2.

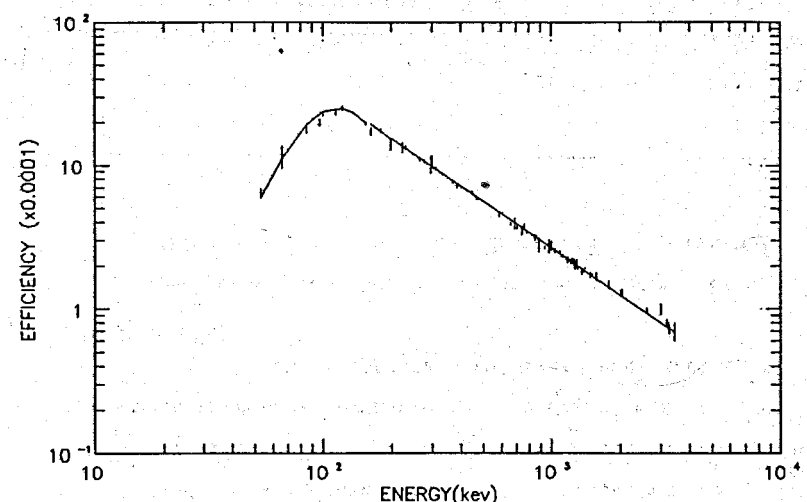


Рис. 2. Энергетическая зависимость собственной эффективности Ge(Li)-детектора

Кривая соответствует аналитическим выражениям, подобранным отдельно для двух энергетических интервалов. Энергетические интервалы и применяемые в их пределах формулы и коэффициенты, определенные из экспериментальных данных, показаны в таблице 1.

Таблица 1. Подгоночные функции и их параметры  
для собственной эффективности Ge(Li)-детектора

интервал (кэВ)	функция	параметры		
		a	b	c
60 + 154	$\epsilon(E_\gamma) = e^{aE_\gamma + b \ln E_\gamma + c}$	-0,0509 $\pm 0,0019$	5,94 $\pm 0,22$	-19,1 $\pm 0,8$
136 + 3500	$\epsilon(E_\gamma) = e^{a \ln E_\gamma + b}$	-1,0866 $\pm 0,0023$	8,48 $\pm 0,01$	

## 2. Вычисление поправочного коэффициента, учитывающего поглощение гамма-квантов и объемность источника

### 1) Основные представления и предположения

При делении плутония резонансными нейтронами мгновенные  $\gamma$ -кванты возникают в рабочем объеме камеры и на пути к Ge(Li)-детектору поглощаются частично в слоях мишени и в материалах конструкции. Поэтому для получения абсолютной эффективности  $\gamma$ -спектрометра из определенной экспериментально собственной эффективности необходимо вносить ряд поправок.

Абсолютную эффективность  $\epsilon(E_\gamma)$   $\gamma$ -спектрометра можно выразить следующим образом:

$$\epsilon(E_\gamma) = F(f_1, f_2, \dots, f_n) \cdot \epsilon_d(E_\gamma), \quad (1)$$

где  $F(f_1, f_2, \dots, f_n)$  - поправочный коэффициент,

$\epsilon_d(E_\gamma)$  - собственная эффективность детектора.

В нашем случае вводились поправки на поглощение  $\gamma$ -квантов в слоях  $\text{PuO}_2$  и Au и объемность источника.

Для простоты вычисления поправочного коэффициента делались следующие предположения:

(1) сопутствующие делению  $\gamma$ -кванты возникают всегда в центральных слоях электродов, содержащих  $\text{PuO}_2$ ;

(2) поглощение  $\gamma$ -квантов в конструкционном материале из Al и рабочем газе пренебрежимо мало;

(3) в данном телесном угле эффективные толщины окиси плутония и золота определяются толщиной по линии, соединяющей точку возникновения  $\gamma$ -квантов с центром поверхности Ge(Li)-детектора.

На рис. 3 показана реальная геометрия, в которой проводится эксперимент. Пусть  $\gamma$ -квант возникает в точке  $P(k, r, \varphi)$ ,  $k$ -номер электрода,  $r$ -радиус и  $\varphi$ -азимутальный угол. Телесные углы, под которыми виден детектор из точек  $O(0,0,0)$  и  $P(k, r, \varphi)$ , обозначим  $\Omega_0$  и  $\Omega(k, r, \varphi)$  соответственно ( $k=10$ -электрод, расположенный на оси Ge(Li)-детектора).

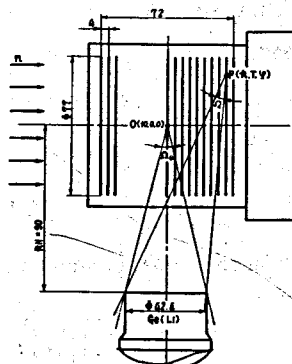


Рис. 3. Расположение камеры деления и Ge(Li)-детектора на пучке нейтронов.

При этом в выражении (1) поправку на геометрический фактор можно выражать как

$$f_1(k, r, \varphi) = \frac{\Omega(k, r, \varphi)}{\Omega_0(10, 0, 0)} \quad (2)$$

С другой стороны, для поправки, учитывающей поглощение  $\gamma$ -кванта, который возник в точке  $P(k, r, \varphi)$  мишени, можно получить следующее выражение:

$$f_2(E_\gamma, k, r, \varphi) = e^{-\Sigma(E_\gamma) \cdot \rho_1 \cdot l_1(k, r, \varphi) + \sigma(E_\gamma) \cdot \rho_2 \cdot l_2(k, r, \varphi)}, \quad (3)$$

$$\text{где } \Sigma(E_\gamma) = \frac{\sigma_1(E_\gamma) \cdot M_1 + \sigma_2(E_\gamma) \cdot M_2}{M} \quad \text{-коэффициент поглощения}$$

$\gamma$ -кванта с энергией  $E_\gamma$  в  $\text{PuO}_2$ ,

$\sigma_1(E_\gamma), \sigma_2(E_\gamma), \sigma(E_\gamma)$  - массовые коэффициенты поглощения  $\gamma$ -кванта с энергией  $E_\gamma$  в плутонии, кислороде и золоте соответственно,  $M_1, M_2, M$  - атомная и молекулярная масса  $\text{Pu}, \text{O}_2$  и  $\text{PuO}_2$  соответственно,

$l_1(k, r, \varphi), l_2(k, r, \varphi)$  - толщина слоев  $\text{PuO}_2$  и  $\text{Au}$ , через которые проходит  $\gamma$ -квант из точки  $P(k, r, \varphi)$  к детектору,

$\rho_1, \rho_2$  - плотность  $\text{PuO}_2$  и  $\text{Au}$ .

На основании (2), (3) можно написать выражение для поправочного коэффициента  $f(E_\gamma, k, r, \varphi)$ :

$$f(E_\gamma, k, r, \varphi) = f_1(k, r, \varphi) \cdot f_2(E_\gamma, k, r, \varphi) = \\ = \frac{\Omega(k, r, \varphi)}{\Omega_0(10, 0, 0)} \cdot f_2(E_\gamma, k, r, \varphi). \quad (4)$$

Если введем эффективный телесный угол

$$\Omega^{\text{eff}}(E_\gamma, k, r, \varphi) = \Omega(k, r, \varphi) \cdot f_2(E_\gamma, k, r, \varphi), \quad (5)$$

то выражение (4) можно переписать как

$$f(E_\gamma, k, r, \varphi) = \frac{1}{\Omega_0} \cdot \Omega^{\text{eff}}(E_\gamma, k, r, \varphi). \quad (6)$$

Усредненный по всему рабочему объему камеры деления поправочный коэффициент будет иметь вид

$$F(E_\gamma) = \sum_k \int \int f(E_\gamma, k, r, \varphi) \cdot \rho(k, r, \varphi) \cdot r \cdot dr \cdot d\varphi = \\ = \frac{1}{\Omega_0} \cdot \Omega^{\text{eqv}}(E_\gamma), \quad (7)$$

где  $\rho(k, r, \varphi)$  - плотность вероятности возникновения  $\gamma$ -кванта в точке  $P(k, r, \varphi)$ , а

$$\Omega^{\text{eqv}}(E_\gamma) = \sum_k \int \int \Omega^{\text{eff}}(E_\gamma, k, r, \varphi) \cdot \rho(k, r, \varphi) \cdot r \cdot dr \cdot d\varphi \quad (8)$$

-эквивалентный телесный угол.

В предположении, что  $\gamma$ -кванты возникают в дискретных по  $k$  и  $r$  точках, выражения (7), (8) можно записать следующим образом:

$$F(E_\gamma) = \sum_{k, r, \varphi} f(E_\gamma, k, r, \varphi) \cdot w(k, r, \varphi) = \\ = \frac{1}{\Omega_0} \cdot \Omega^{\text{eqv}}(E_\gamma), \quad (7')$$

$$\Omega^{\text{eqv}}(E_\gamma) = \sum_{k, r, \varphi} \Omega^{\text{eff}}(E_\gamma, k, r, \varphi) \cdot w(k, r, \varphi), \quad (8')$$

где  $w(k, r, \varphi)$  - вероятность возникновения  $\gamma$ -кванта в точке  $P(k, r, \varphi)$ .

Можно сказать, что проблема определения поправочного коэффициента сводится к вычислению эквивалентного телесного угла с учетом поглощения  $\gamma$ -квантов в мишени и объемного размера источника.

Вычисления эквивалентного телесного угла проводились методом Монте-Карло с использованием известных коэффициентов поглощения  $\gamma$ -квантов [2] и реальной геометрии нашего эксперимента.

## 2) Структура программы Монте-Карло для вычисления поправочного коэффициента

На рис. 4 приведена блок-схема программы вычисления поправочного коэффициента методом Монте-Карло. Подпрограмма INPUT вводит начальные данные и вычисляет центральный телесный угол  $\Omega_0$  и толщины слоев  $\text{PuO}_2$  и Au в каждом электроде.

В таблице 2 показаны начальные данные, необходимые для вычислений.

Подпрограмма RANDOM генерирует случайные числа, распределенные равномерно между 0 и 1 [3].

Вычисления толщины слоев  $\text{PuO}_2$  и Au, через которые проходят  $\gamma$ -кванты, и телесных углов, под которыми виден Ge(Li)-детектор из данной точки, проводятся в подпрограммах THICK и OMEGA с использованием указанных выше предположений и с учетом геометрических соотношений. Полученные толщины слоев  $\text{PuO}_2$  и Au и телесный угол используются для вычисления эффективного и эквивалентного телесных углов в подпрограмме EFF.

В подпрограмме CHECK проверяется также, что усредненный по всему рабочему объему эквивалентный телесный угол приближается к постоянной величине, и проводится сравнение с заданной точностью. Если удовлетворяется условие точности, программа прекращает

повторения и печатает результаты. В противном случае программа продолжает набор событий.

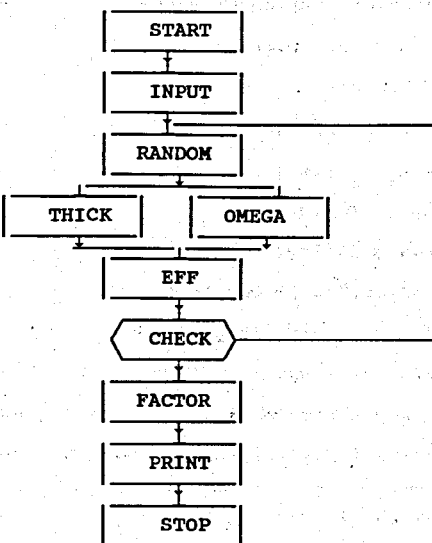


Рис. 4. Блок-схема программы

Программа написана в языке FORTRAN-77 на ЭВМ PDP-11/70 с использованием имеющейся библиотеки.

## 3. Результаты вычисления и абсолютная эффективность $\gamma$ -спектрометра

Вычисление поправочного коэффициента проводилось для различных начальных условий и их результаты сравнивались между собой.

Учет влияния нанесенных над слоями окиси плутония слоев золота дал отклонения максимально на 0,6 % от окончательных результатов во всем интервале энергий от 60 кэВ до 3000 кэВ.

Использование усредненной по всем электродам камеры деления толщины дает максимальное отклонение 0,8 %.

Таблица 2. Начальные входящие данные

№	наименование	величина
1	основание генератора случайных чисел	100 - 300
2	максимальное число повторений	32500
3	точность вычисления	0,000001
4	энергия гамма-квантов (кэВ)	60 - 3000
5	плотность $\text{PuO}_2$ ( $\text{г}/\text{см}^3$ )	11,44
6	плотность Au ( $\text{г}/\text{см}^3$ )	19,3
7	рабочий объем Ge(Li)-детектора ( $\text{см}^3$ )	- 60
8	расстояние от детектора до оси камеры(мм)	- 90
9	радиус электрода с слоем плутония (мм)	38,5
10	сечение поглощения $\gamma$ -квантов в Pu(барн/атом)	2980 - 17,9
11	сечение поглощения $\gamma$ -квантов в $\text{O}_2$ (барн/атом)	0,438 - 0,00105
12	сечение поглощения $\gamma$ -квантов в Au(барн/атом)	2740 - 0,755

Проводилась также оценка влияния центрального электрода, который дает особенно большую эффективную толщину слоев поглощения  $\gamma$ -кванта, и 16-го электрода, который не был включен в спектрометрический тракт по причине неисправности 16-го предусилителя.

Таблица 3. Подгоночные функции и их параметры

для абсолютной эффективности  $\gamma$ -спектрометра

функция	энергия ( кэВ )	параметры			
		a	b	c	d
$p = \ln E_y$	53 +121,7	-0,60063	5,64395	-12,8202	1,0
$F = e^{aP^3 + bP^2 + cP + d}$	122 + 250	-0,00736	-0,17803	1,44877	1,0
$F = e^{aP^2 + bP + c}$	150+3500	-0,00588	-1,00105	8,05294	

На рис. 5 показана энергетическая зависимость поправочных коэффициентов. Непрерывные кривые - результат описания методом наименьших квадратов.

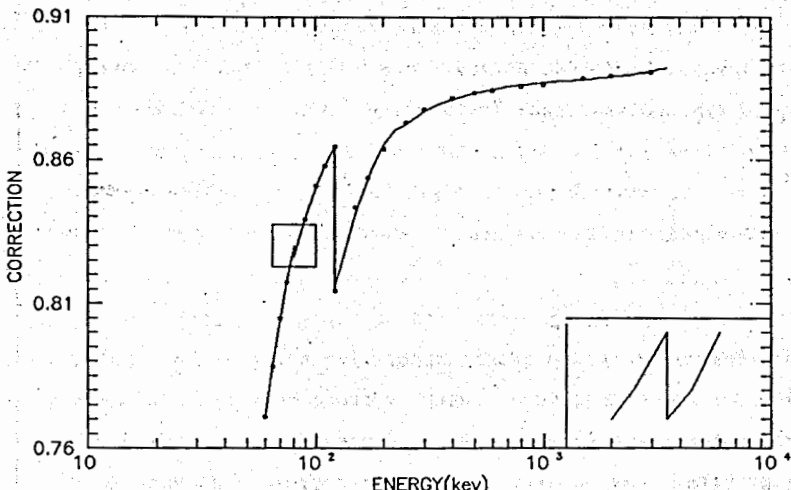


Рис. 5. Зависимость от энергии поправочных коэффициентов  
Окончательно поправочные коэффициенты вычислялись в 25 энергетических точках в диапазоне от 60 кэВ до 3000 кэВ.

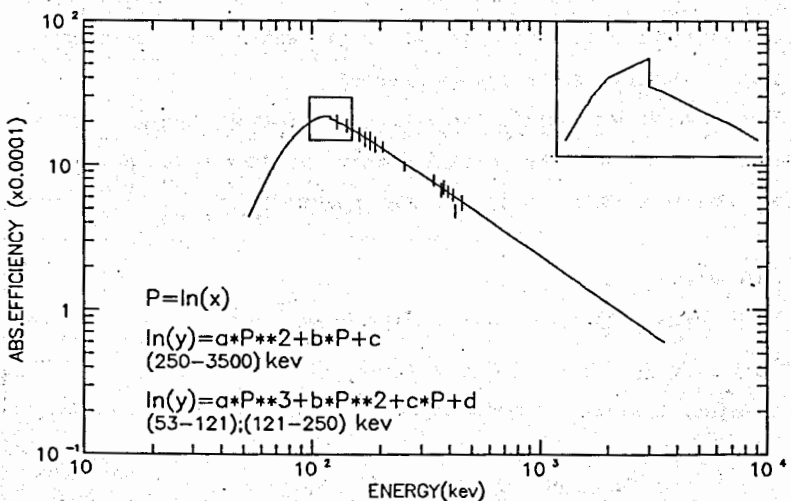


Рис. 6. Абсолютная эффективность  $\gamma$ -спектрометра.

На рисунке можно наблюдать 2 скачка: первый при энергии 80,725 кэВ соответствует К-границе поглощения в золоте, второй - при энергии 121,797 кэВ соответствует К-границе поглощения в плутонии.

Абсолютная эффективность, вычисленная в соответствии с выражением (1), показана на рис. 6, в таблице 3 представлены аналитические выражения и их параметры, определенные методом наименьших квадратов.

Кроме того, для проверки правильности определенной методом Монте-Карло абсолютной эффективности  $\gamma$ -спектрометра проводились измерения с использованием линий мягкого  $\gamma$ -излучения плутония, содержащегося в камере деления. Полученные результаты для 15 сравнительно интенсивных  $\gamma$ -фотопиков плутония нормировались на величину абсолютной эффективности при энергии  $E_{\gamma} = 413$  кэВ.

Определенные таким образом величины эффективности представлены штрихами на рисунке 6. Видно, что полученные по линиям  $^{239}\text{Pu}$  оценки эффективности в пределах 10% ошибок совпадают с кривой абсолютной эффективности. Это подтверждает надежность определения абсолютной эффективности  $\gamma$ -спектрометра.

В заключение мы считаем своим приятным долгом выразить благодарность Л.Б. Пикельнеру и А.Б. Попову за постоянный интерес к работе, полезные обсуждения и ценные замечания.

#### Литература

1. И. Н. Силин. Препринт ОИЯИ 2-8862, Дубна, 1967.
2. Nuclear Data Tables, A7, No.6 (1970), 565.
3. V.Fajer, L.Alvarez KFKI-1979-60, Budapest, 1979.

Рукопись поступила в издательский отдел

4 апреля 1989 года.